



СИНТЕТИЧЕСКИЕ ТРАНСФОРМАЦИИ ВЫСШИХ ТЕРПЕНОИДОВ. 42. СИНТЕЗ НОВЫХ ПРОИЗВОДНЫХ 18-НОР-4-(КАРБОКСИЭТИЛ)ИЗОПИМАРА-7,15-ДИЕНА И ИЗУЧЕНИЕ ИХ ЦИТОТОКСИЧНОСТИ НА ЛИНИЯХ ОПУХОЛЕВЫХ КЛЕТОК MCF7, U-87 MG И DU 145

© 2023 г. М. А. Громова*, **, Ю. В. Харитонов**, Т. В. Рыбалова**, В. А. Ларионов***,
Т. С. Голубева****, Э. Э. Шульц**,[#]

*Новосибирский государственный педагогический университет,
Россия, 630126 Новосибирск, ул. Вилойская, 28

**Новосибирский институт органической химии им. Н.Н. Ворожцова СО РАН,
Россия, 630090 Новосибирск, просп. Акад. Лаврентьева, 9

***Институт элементоорганических соединений им. А.Н. Несмеянова РАН,
Россия, 119334 Москва, ул. Вавилова, 28

****Федеральный исследовательский центр “Институт цитологии и генетики” СО РАН,
Россия, 630090 Новосибирск, просп. Акад. Лаврентьева, 10

Поступила в редакцию 08.11.2022 г.

После доработки 17.11.2022 г.

Принята к публикации 18.11.2022 г.

Кросс-сочетанием производных изопимаровой кислоты с замещенными иодаренами, катализируемым ацетатом палладия в присутствии карбоната серебра, синтезированы (*E*)-16-арилзамещенные производные трициклических дитерпеноидов. Конденсация полученного *in situ* дихлорангидрида (*E*)-18-нор-4-(карбоксиэтил)-16-(2-карбоксиэтил)изопимара-7,15-диена с гидрохлоридом пропаргиламина приводит к получению соответствующего диалкина, который легко вступает в реакцию азид-алкинового циклоприсоединения (CuAAC) с диазидом. Основной продукт этой реакции – макрогетероциклическое соединение, включающее фрагмент трициклического дитерпеноида пимаранового типа и 1,2,3-триазольные кольца в линкерной цепи. Взаимодействие полученного *in situ* хлорангидрида (*E*)-18-нор-16-азидо-4-(карбоксиэтил)изопимара-7,15-диена с гидрохлоридом пропаргиламина или алкинилзамещенным производным защищенного Gly-Gly-дипептида приводило к получению соответствующих азидоалкинов. В результате внутримолекулярной CuAAC-реакции азидодипептидилалкина получили макрогетероциклическое производное, содержащее дипептидный и триазольный фрагменты в линкерной цепи. Синтезированные соединения обладали большей (по сравнению с изопимаровой кислотой) цитотоксичностью на моделях опухолевых клеток MCF7, U-87 MG и DU 145 и были менее токсичны для нераковых клеток, чем препарат сравнения доксорубицин. Значение GI₅₀ наиболее активного соединения составляет 6.3 мкМ (индекс селективности >15) (MTT-тест). Синтезированные производные трициклического дитерпеноида изопимаровой кислоты могут быть использованы для разработки новых противоопухолевых агентов.

Ключевые слова: изопимаровая кислота, дитерпеноиды, дипептид, CuAAC-реакция, макрогетероциклы, цитотоксичность

DOI: 10.31857/S0132342323050032, **EDN:** BLXeca

ВВЕДЕНИЕ

Дитерпеновые кислоты хвойных растений проявляют разнообразную биологическую актив-

* Сообщение 41 – см. статью Gromova et al. [1].

Сокращения: CuAAC – реакция азид-алкинового циклоприсоединения, катализируемая соединениями меди; GI₅₀ – концентрация, при которой наблюдается 50%-ное ингибирование роста клеток; IS – индекс селективности.

Автор для связи: (тел.: +7 (383) 330-85-33; эл. почта: schultz@nioch.nsc.ru).

ность [2–4]. Было обнаружено, что трициклический дитерпеноид пимаранового типа – изопимаровая кислота (I) – достоверно обладает антибактериальным [5, 6], противовоспалительным [7] действием и способностью предотвращать повышение кровяного давления за счет активации Ca²⁺/K⁺-каналов (ВК-каналов) [8, 9]. Модуляция активности ВК-каналов в возбудимых и невозбудимых клетках имеет большое значение для разработки терапевтических агентов. В последнее

время ионные каналы становятся важными мишнями для терапии рака [10, 11]. Превращения по атому С4 изопимаровой кислоты позволили значительно изменить биологическую активность ее производных. Так, ацилгидразоны, полученные из гидразида изопимаровой кислоты и производных бензальдегида, тиофенальдегидов [12] или замещенных пиридинальдегидов [13], обладали большей цитотоксичностью в отношении клеточных линий гепатокарциномы Нер G2 и рака молочной железы МДА-МВ-231, чем препарат сравнения 5-фторурацил. Производные изопимаровой кислоты с ацилтиоуреидным фрагментом (наиболее активно ацилпроизводное изопимаровой кислоты с фрагментом *N*-(4-фторфенил)тиомочевины ингибировали рост клеток злокачественной меланомы А375 и карциномы простаты РС-3, вызывая более чем 90%-ную гибель клеток в концентрации 50 мкМ [14]. Нами было показано, что замена карбоксильной группы в положении С4 на оксазолильный заместитель позволила увеличить цитотоксичность и селективность действия в отношении клеточных линий рака молочной железы МСF7 и МДА-МВ-231 [15]. Интересные результаты были также получены при введении дополнительных заместителей в положение С16. Так, для 16-(2-азидофенил)изопимаровой кислоты выявлена селективная цитотоксичность (*IS* = 9) в отношении клеточной линии рака молочной железы МСF7 [16]. Дополнительная более глубокая модификация с введением дипептидного фрагмента по кислотной функции или макрогетероциклизация дитерпеноида с линкерной группой в положениях С4 и С16 позволила синтезировать ингибиторы роста опухолевых клеток рака молочной железы МСF7 и рака простаты DU 145 [16]. Таким образом, синтетические превращения изопимаровой кислоты по положениям С4 и С16 представляют интерес для изучения цитотоксического воздействия на клетки и получения новых противоопухолевых агентов.

Цель настоящей работы – синтез новых производных изопимаровой кислоты, концевая карбоксильная группа в которых удалена на два метиленовых звена от трициклического остова, получение продуктов их модификации по атому С16 азидным или алкинильным заместителями, построение структурно-оригинальных макрогетероциклических соединений на их основе, а также оценка цитотоксичности новых С4-дигомоаналогов в сравнении с ранее синтезированными производными изопимаровой кислоты на моделях опухолевых клеток МСF7, U-87 MG, DU 145 и легочных фибробластов hTERT (нераковый контроль).

РЕЗУЛЬТАТЫ И ОБСУЖДЕНИЕ

В качестве метода для направленной модификации 18-нор-4-карбоксиэтил)изопимара-7,15-диенов (**II**) и (**III**) по экзоциклической терминальной двойной связи нами изучена реакция

кресс-сочетания с производными иодбензола (**IVa, b**), катализируемая ацетатом палладия в присутствии карбоната серебра (схема 1). В ранее предложенных условиях реакции изопимаровой кислоты (**I**) с иодаренами (кипение в *трет*-бутиловом спирте в присутствии $Pd(OAc)_2$ (0.1 экв.) и Ag_2CO_3 (1 экв.)) [17, 18] соответствующие (*E*)-16-арилзамещенные производные дитерпеноидов (**V**) и (**VIa, b**) синтезированы с выходом 57–83% (после колоночной хроматографии на силикагеле), при этом полная конверсия исходного метилового эфира (**II**) достигалась за 8 ч (контроль ТСХ). Для полной конверсии кислоты (**III**) в реакции с иодаренами (**IVa, b**) требовалось значительное увеличение продолжительности реакции (17–21 ч). Следует отметить, что в реакции кросс-сочетания изопимаровой кислоты (**I**) и ее метилового эфира с иодаренами указанного различия в условиях не наблюдалось [17]. Можно предположить, что удаление карбоксильной группы от терпенового острова увеличивает ее стерическую доступность и обуславливает возможность дополнительного комплексообразования с палладием на стадии окислительного присоединения.

Гидролиз диэфира (**V**) протекал под действием $LiOH$ в растворе THF/H_2O (1 : 1) и приводил к образованию дикислоты (**VII**), которую выделяли с выходом 51% после колоночной хроматографии на силикагеле (схема 2). Соединение (**VII**) также получали реакцией гидролизаmonoэфира (**VIa**) при кипении с KOH в водном метаноле (выход 57%).

Для получения *bis*(*N*-пропинил)замещенных амидов трициклического дитерпеноида (**IX**) исследовано взаимодействие соответствующего дихлорангидрида из соединения (**VII**) с гидрохлоридом пропаргиламина (**VIII**). Однореакторный синтез соединения (**IX**) включал последовательное получение дихлорангидрида действием избытка (7 экв.) хлористого оксиалила в присутствии каталитического количества ДМФА и конденсацию последнего с гидрохлоридом пропаргиламина (**VIII**) (2.1 экв., дробное добавление, контроль ТСХ) в присутствии триэтиламина в хлористом метилене при комнатной температуре (схема 2). Выход соединения составил 72% в расчете на исходную дикислоту (**VII**).

На основе азидокислоты (**VIIb**) хлорангидридным методом синтезировали соответствующие алкинилзамещенные амидные и пептидные производные (схема 3). По вышеописанной методике *in situ* получали хлорангидрид азидокислоты, в результате взаимодействия которого с метиловым эфиrom L-пропаргилглицина (**XI**) синтезировали амид (**XII**). Выход соединения после колоночной хроматографии составил 48%. Следует отметить, что однореакторный двухстадийный синтез производного азида изопимаровой кислоты (**XIII**) конденсацией хлорангидрида 16-(2-азидофенил)изопимаровой кислоты (**X**) [16] с метиловым эфиrom L-пропаргиламина (**XI**) протекал эффективно, выход продукта конденсации (**XIII**) составил 68%.

Реакцией хлорангидрида 16-(2-азидофенил)замещенной дитерпеноидной кислоты (**VIIb**) с трифтормономицетином в присутствии диметилсульфата натрия в диоксане при температуре 0–5°C в течение 2 ч синтезирована производная **XIV**, выделенная в виде бесцветных кристаллов с выходом 40% (на две стадии) (схема 3).

в присутствии триэтиламина синтезировали дипептидное производное (**XV**), выделенное после колоночной хроматографии с выходом 40% (на две стадии) (схема 3).

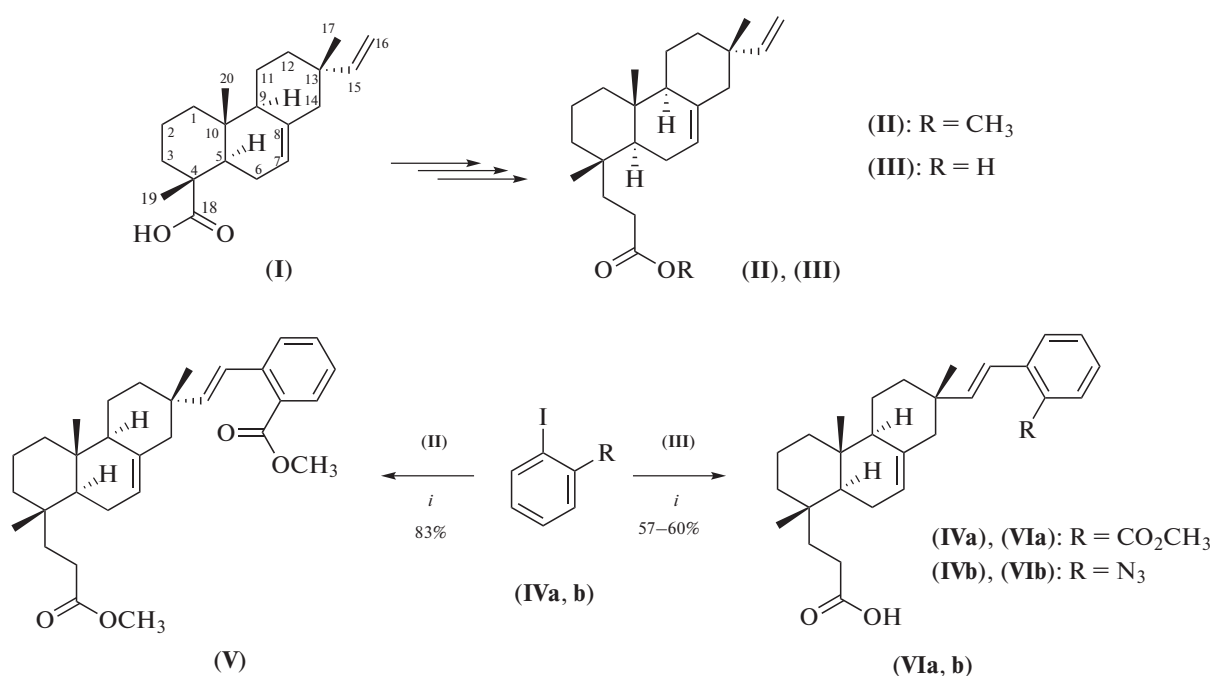


Схема 1. Получение (*E*)-16-арилзамещенных производных дитерпеноидов (**V**) и (**VIa, b**).
Условия: *i* – Pd(OAc)₂, Ag₂CO₃, *t*-BuOH, 80°C.

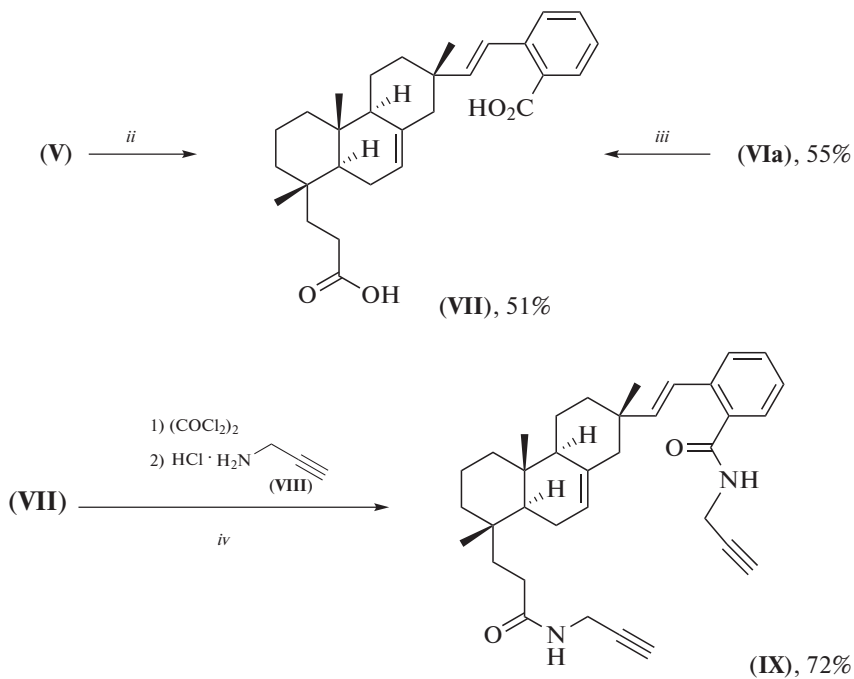


Схема 2. Синтез *bis*(*N*-пропинил)замещенного трициклического дитерпеноида (**IX**). Условия и реагенты:
ii – LiOH, ТГФ : H₂O (1 : 1), комн. т., 48 ч; *iii* – KOH, MeOH–H₂O, кипение 6 ч; *iv* – *a* – (COCl₂)₂, CH₂Cl₂, ДМФА, 0°C, 1 ч; *b* – соединение (**VIII**), Et₃N, CH₂Cl₂, комн. т., 24 ч.

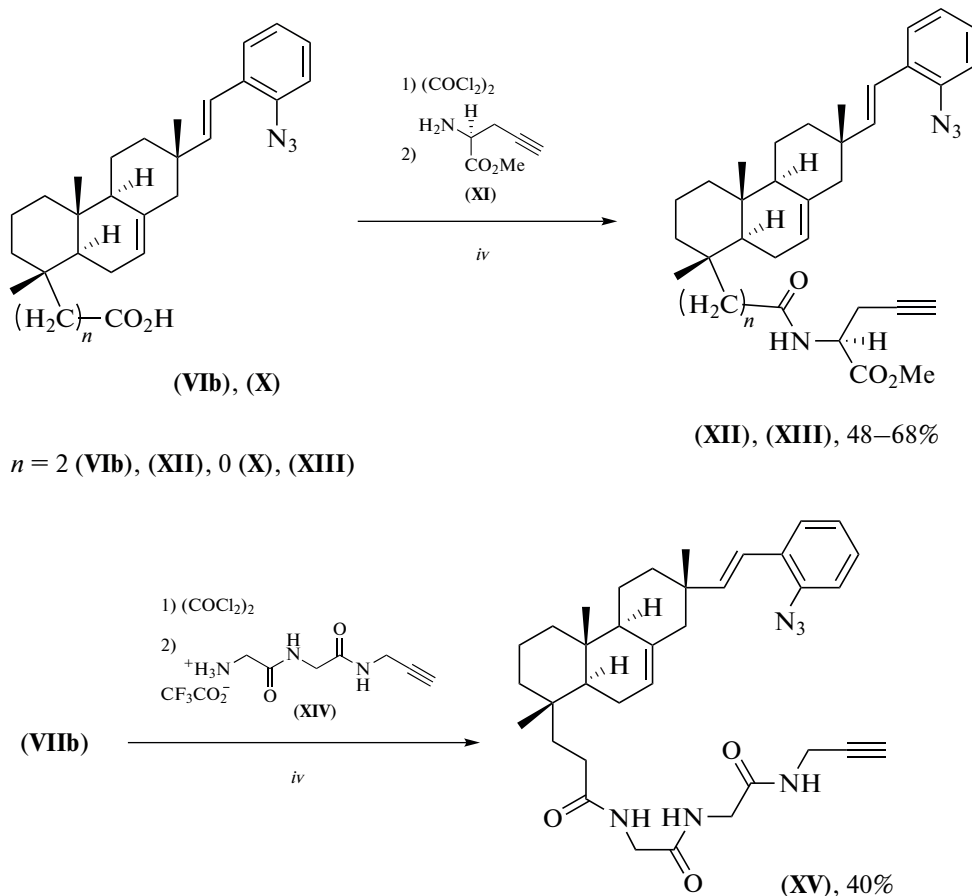


Схема 3. Генерирование хлорангидридов трициклических дитерпеноидов и их реакции с метиловым эфиром L-пропаргилглицина (XI) и с трифтормонийной солью дипептида N-пропаргиламиноглицин-глицина (XIV).

Условия: *iv* – 1) $(COCl_2)_2$, CH_2Cl_2 , ДМФА, $0^\circ C$, 1 ч; 2) соединение (XI) или (XIV), Et_3N , CH_2Cl_2 , комн. т., 24 ч.

Доступность синтезированных производных диалкина (IX) и азидоалкина (XV) обусловила наш интерес к получению макрогетероциклических производных на их основе. В качестве синтетического подхода использовали реакцию азидоалкинового циклоприсоединения, катализируемую соединениями меди (CuAAC-реакцию). Следует отметить, что разработка методов селективного синтеза макрогетероциклов, содержащих 1,2,3-триазольный фрагмент и амидный или пептидный фрагмент в линкерной цепи, представляет значительный интерес, поскольку им отводится важная роль в биохимии и медицинской химии благодаря высокой эффективности и селективности связывания, а также большей биодоступности и клеточной проницаемости по сравнению с исходными молекулами [20].

Реакцию диалкина (IX) с 1,2-бис(2-азидоэтокси)этаном (XVI) [21] (0.5 экв., добавление порци-

ями по 0.1 экв. через каждые 10 ч) проводили в системе растворителей $CH_2Cl_2-H_2O$ (20 : 1) в присутствии $CuSO_4$ (0.4 экв.) и аскорбата натрия (2 экв.) при $40^\circ C$ в условиях сильного разбавления (0.01 М раствор соединения (IX)). После введения в реакцию 0.5 экв. диазида (XVI) в реакционную смесь дополнительно добавляли 0.6 экв. $CuSO_4$ и 3 экв. аскорбата натрия и нагревали при перемешивании еще 40 ч. Общее время реакции составило 90 ч (контроль ТСХ). Соединение (XVII) выделяли колоночной хроматографией на силикагеле с выходом 43% (схема 4).

Внутримолекулярную CuAAC-реакцию азидоалкина (XV) проводили в аналогичных условиях. Полная конверсия соединения (XV) наблюдалась за 80 ч (ТСХ), выход соединения (XVII) после колоночной хроматографии составил 42% (схема 4).

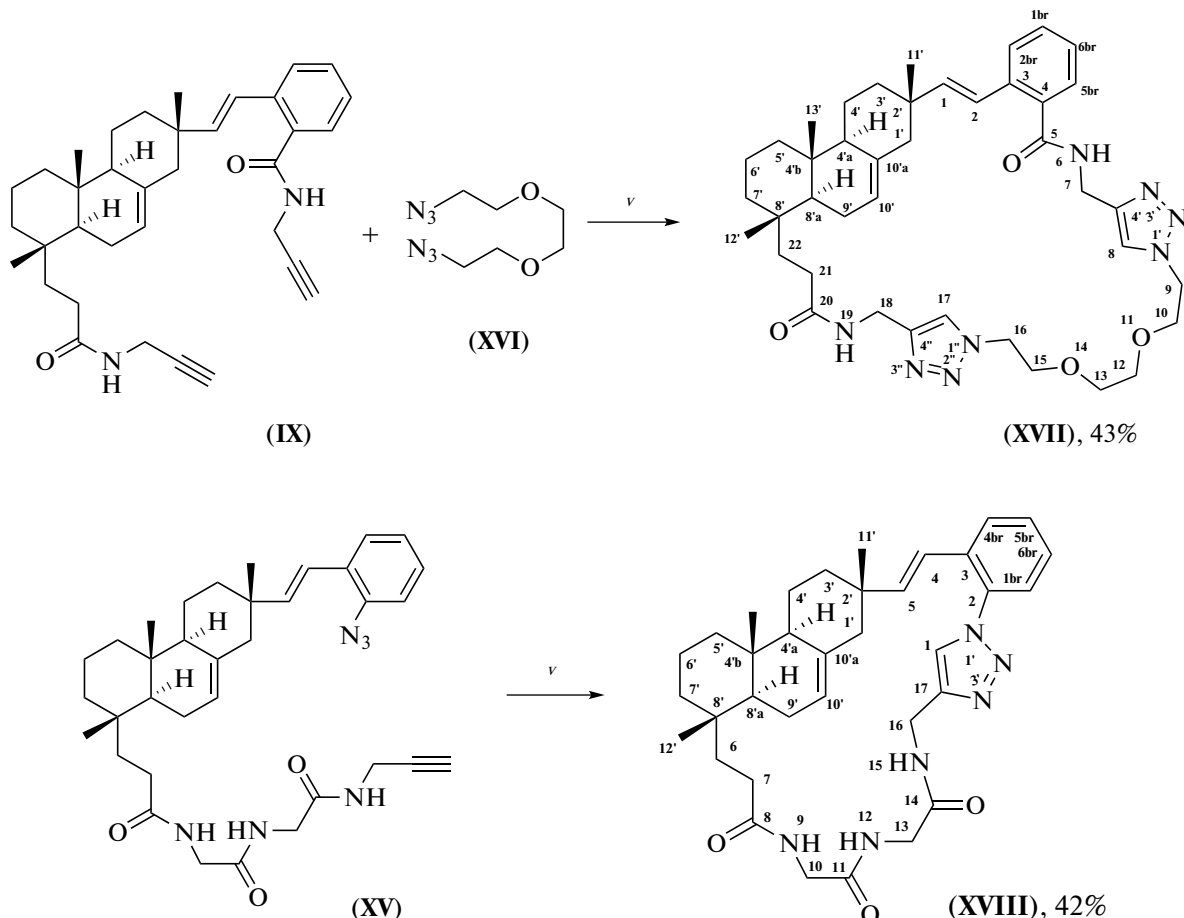


Схема 4. Диалкинил- и азидоалкинилдитерпеноиды (IX) и (XV) в CuAAC-реакции. Условия: v – CuSO_4 , NaAsc , $\text{CH}_2\text{Cl}_2-\text{H}_2\text{O}$, 40°C .

Состав и строение новых соединений (V), (VIa), (VIb), (VII), (IX), (X), (XII), (XIII), (XV) и макрогетероциклических соединений (XVII), (XVIII) подтверждены данными элементного анализа, масс-спектров, ИК-, УФ- и ЯМР-спектров. В ИК-спектрах *bis*-алкина (IX) присутствуют характеристические полосы поглощения ($\text{C}\equiv\text{C}$) и ($\equiv\text{CH}$) при 2119 и 3305 cm^{-1} . Характерные полосы валентных колебаний азидов (XI), (XIII) и (XV), содержащих алкинильный заместитель, – это сильные полосы концевой тройной связи ($\text{C}\equiv\text{C}$) 2068 cm^{-1} (XI), 2088 cm^{-1} (XIII), (XV), ($\equiv\text{CH}$) 3305 cm^{-1} (XI), 3307 cm^{-1} (XIII), 3293 cm^{-1} (XV), а также азидогруппы (N_3) при 2121 cm^{-1} (XI), (XIII) и (XV). Спектры ^1H - и ^{13}C -ЯМР полученных соединений полностью соответствуют их структуре. (*E*)-Конфигурация двойной связи всех соединений подтверждена КССВ 16.1–16.3 Гц в области 5.60–6.17 и 6.31–7.10 м.д. Строение дикислоты (VII) установлено на основании данных рентгеноструктурного анализа. Молекулярная структура соединения приведена на рис. 1. Для анализа молекулярной геометрии использовали программу PLATON

[22]. Циклогексановые кольца *A* и *C* трициклического остова молекулы находятся в конформации “кресло”, тогда как *транс*-сочлененное циклогексеновое кольцо *B* принимает конформацию “полукресло” с отклонением атомов C5 и C10 от плоскости остальных атомов цикла, равным 0.388 и 0.441 Å соответственно. Карбоксильная группа на C2' лежит почти в плоскости фенильной группы C1'–C6', угол между ними, равный 5.2° , благоприятен для образования общей π -системы, а также слабой внутримолекулярной водородной связи C3'–H3'...O3. Напротив, *транс*-двойная связь C15=C16 развернута из плоскости фенильного кольца на 39.8° , что обуславливает образование слабой внутримолекулярной водородной связи C16–H...O4.

Цитотоксичность новых соединений была изучена в сравнении с ранее синтезированными производными изопимаровой кислоты. На рис. 2 представлены структуры производных изопимаровой кислоты (XIX) [1], (XX) [1], (XXI) [17], (XXII) [18] и макрогетероциклических соединений (XXIIIa–d) [18], которые были синтезированы CuAAC-реак-

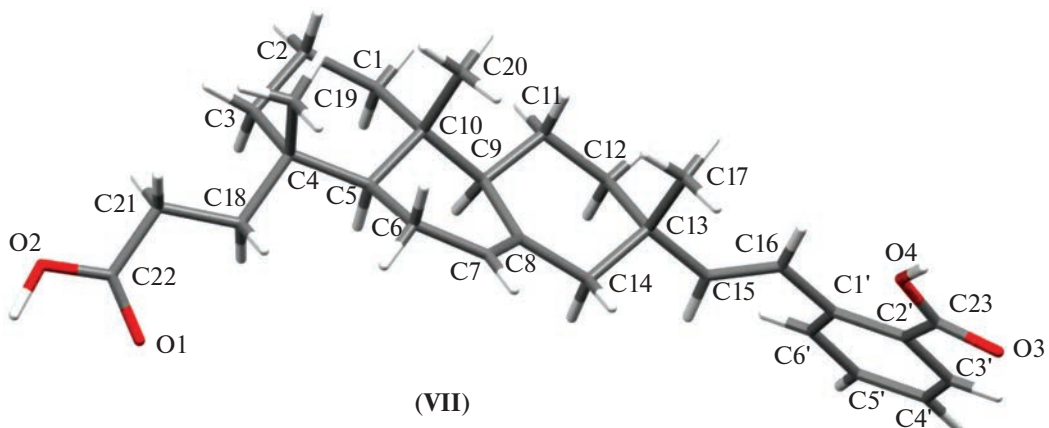


Рис. 1. Молекулярная структура и номера атомов углерода соединения (VII).

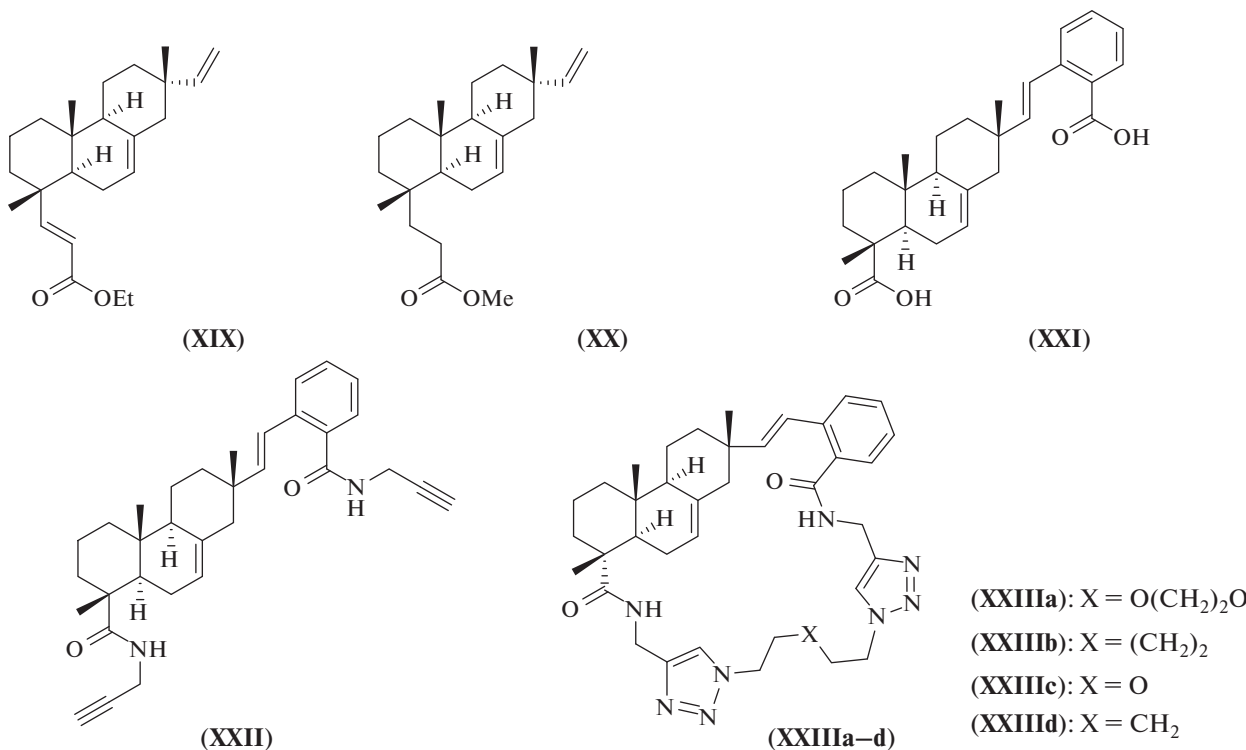


Рис. 2. Структуры производных изопимаровой кислоты (**XIX–XXII**) и бис(триазолил)содержащих макрогетероциклов (**XXIIIa–d**).

цией диалкилпропионового (XXII) с различными диазидами.

Экспериментальное исследование антипролиферативной активности *in vitro* производных трициклических дитерпеноидов (**III**), (**V**), (**VIa**), (**VIb**), (**VII**), (**IX**), (**X**), (**XII**), (**XIII**), (**XV**), (**XIX–XXII**) и макрогетероциклических соединений (**XVII**), (**XVIII**), (**XXIIIa–d**) проведено с использованием МТТ-теста на клетках adenокарциномы молочной железы MCF7, мультиформной глиобластомы U-87 MG и рака простаты DU 145 [23]. В качестве нера-

кового контроля использовали клетки легочных фибробластов hTERT, в качестве препарата сравнения – противоопухолевый препарат доксорубицин, проявляющий цитотоксичность в отношении широкого ряда клеток. Результаты исследования приведены в табл. 1.

Обращает внимание увеличение цитотоксичности в отношении опухолевых клеток при переходе от изопимаровой кислоты (**I**) и ее производных (**XIII**), (**XXI**), (**XXII**) к С4-модифицированным производным (**III**), (**V**), (**VIa**), (**VIb**), (**VII**),

Таблица 1. Цитотоксичность замещенных дитерпеноидов (III), (V), (VIa), (VIb), (VII), (IX), (X), (XII), (XIII), (XV), (XIX–XXII), макрогетероциклических соединений (XVII), (XVIII), (XXIIIa–d), изопимаровой кислоты (I) и доксорубицина

Соединение	Ингибирование роста клеток (GI_{50} , мкМ)*			
	MCF7	U-87 MG	DU 145	легочные фибробlastы hTERT
(I)	>100	>100	135.56 ± 25.76	>100
(III)	38.99 ± 4.53	54.17 ± 7.02	66.43 ± 7.32	>100
(V)	45.15 ± 6.02	37.72 ± 1.71	29.45 ± 4.11	>100
(VIa)	33.83 ± 2.53	22.57 ± 0.97	44.56 ± 2.74	68.53 ± 7.14
(VIb)	>100	30.17 ± 4.45	44.72 ± 5.03	>100
(VII)	>100	>100	>100	>100
(IX)	11.09 ± 1.17	8.08 ± 1.32	16.42 ± 3.05	28.45 ± 3.02
(X)	10.25 ± 2.17	>100	>100	72.77 ± 3.47
(XII)	27.43 ± 3.67	32.44 ± 4.59	36.29 ± 4.82	>100
(XIII)	>100	>100	>100	>100
(XV)	34.18 ± 4.17	26.09 ± 2.48	28.56 ± 3.14	25.33 ± 1.17
(XVII)	47.72 ± 3.74	26.76 ± 3.17	52.81 ± 2.15	34.12 ± 1.34
(XVIII)	15.01 ± 2.12	14.15 ± 2.08	43.17 ± 2.96	24.53 ± 0.98
(XIX)	21.52 ± 3.13	12.66 ± 1.72	57.13 ± 6.58	43.15 ± 5.08
(XX)	48.57 ± 5.11	13.77 ± 2.24	55.61 ± 7.03	63.11 ± 4.08
(XXI)	63.97 ± 2.19	>100	>100	>100
(XXII)	31.03 ± 2.22	>100	>100	65.33 ± 4.11
(XXIIIa)	6.33 ± 1.42	28.44 ± 3.16	>100	>100
(XXIIIb)	8.94 ± 0.47	18.45 ± 2.02	40.78 ± 5.33	28.15 ± 1.44
(XXIIIc)	64.25 ± 3.12	>100	17.33 ± 2.05	26.67 ± 2.03
(XXIIId)	78.15 ± 4.51	>100	>100	41.08 ± 5.77
Доксорубицин	3.55 ± 1.02	2.33 ± 0.57	4.88 ± 0.63	3.03 ± 0.44

* GI_{50} – концентрация, при которой наблюдается 50%-ное ингибирование роста клеток при инкубировании в среде DMEM, содержащей 10% сыворотки крови эмбрионов крупного рогатого скота (Gibco, США) в течение 72 ч.

(IX), (XII), (XIX) и (XX). При этом азидокислота (X) проявила избирательную цитотоксичность в отношении клеток MCF7 ($IS > 7$). В ряду макрогетероциклических производных (XVII), (XVIII), (XXIIIa–d) выделяется *bis*-триазольное производное (XXIIIa), которое селективно ингибировало рост опухолевых клеток MCF7 ($IS > 15$) и обладало значительно меньшей токсичностью ($GI_{50} > 100$ мкМ) в отношении неракового контроля по сравнению с макрогетероциклом (XVII). Для макрогетероциклических соединений (XVII), (XVIII) и (XXIIIb–d) наблюдалось увеличение цитотоксичности в отношении как опухолевых, так и нераковых клеток. Макрогетероциклическое производное (XVIII), синтезированное на основе дипептида (XV), обладало значительной цитотоксичностью в отношении опухолевых клеток MCF7 и U-87 MG. Все производные изопимаровой кислоты были менее токсичны для нераковых клеток, чем препарат сравнения доксорубицин.

ЭКСПЕРИМЕНТАЛЬНАЯ ЧАСТЬ

Спектры ЯМР регистрировали на спектрометрах AV-300 (рабочие частоты 300.13 (^1H) и 75.47 МГц (^{13}C)), AV-400 (рабочие частоты 400.13 (^1H) и 100.78 МГц (^{13}C)), DRX-500 (рабочие частоты 500.13 МГц для ^1H и 125.7 МГц для ^{13}C) и AV-600 (рабочие частоты 600.30 (^1H) и 150.96 МГц (^{13}C)) (Bruker, Германия). Мультиплетность сигналов в спектрах ^{13}C -ЯМР определяли при записи спектров в режиме JMOD. При описании спектров ^1H - и ^{13}C -ЯМР использовали систему нумерации атомов, приведенную в макроциклах (XVII) и (XVIII). ИК-спектры регистрировали на приборе Vector-22 (Bruker, Германия) для образцов в таблетках с KBr (или в чистом виде). УФ-спектры поглощения записывали на спектрометре HP 8453 UV Vis (Hewlett-Packard, Германия) в этаноле. Масс-спектры регистрировали на спектрометре Thermo Scientific (температура испарителя 240–270°C). Температуры плавления опре-

деляли с помощью термосистемы Mettler Toledo FP900 (США). Величины удельного вращения $[\alpha]_D^T$ измеряли на поляриметре PolAAr3005 в этаноле при 20–25°C. Данные рентгеноструктурного анализа для соединения (VII) получали при комнатной температуре на приборе Карра Арх II CCD (Bruker, Германия) с Mo- K_α -излучением ($\lambda = 0.71073 \text{ \AA}$) и графитовым монохроматором. Продукты реакции выделяли колоночной хроматографией на силикагеле KCK 60 (0.063–0.200 мм, Merck, Германия), элюент хлороформ, хлороформ–метанол (от 100 : 1 до 25 : 1), петролейный эфир–Et₂O (1 : 10 до 1 : 1). Протекание реакций контролировали методом ТСХ на пластинах Silufol UV-254 (Kavalier, Чехия) (пятна определяли с помощью облучения ультрафиолетом или опрыскиванием пластин 10%-ным водным раствором H₂SO₄ с последующим нагреванием до 100°C). Изопимаровую кислоту (I) выделяли из живицы сосны сибирской *Pinus sibirica* R. Mayg. (Республика Алтай) по литературной методике [24]. 1-Азидо-2-иодбензол (IVb) [25], 1,2-бис(2-азидоэтокси)этан (XVI) [26], 2-оксо-2-((2-оксо-2-(проп-2-ен-1-иламино)этил)амино)этан-1-аминиум 2,2,2-трифтороацетат (XIV) [16], метиловый эфир L-пропаргилглицина (XI) [27] и 16-(2-азидофенил)изопимаровую кислоту (X) [17] получали по известным методикам.

Общая методика синтеза соединений (V) и (VIa). Раствор (2.48 ммоль) соединения (II) или (III), 0.64 г (2.48 ммоль) метилового эфира 2-иодбензойной кислоты, 0.06 г (0.25 ммоль) Pd(OAc)₂ и 0.68 г (2.48 ммоль) Ag₂CO₃ в 5 мл *t*-BuOH перемешивали при 80°C в течение 17 ч (для соединения (III)), 8 ч (для соединения (II)), контроль ТСХ. К охлажденному раствору добавляли 50 мл CHCl₃ и промывали водой (3 × 15 мл). Объединенный органический слой сушили над MgSO₄. Растворитель упаривали, остаток хроматографировали на колонке с силикагелем (элюент – петролейный эфир–Et₂O, от 1 : 10 до 1 : 1) с выделением соединений (V) и (VIa).

Метиловый эфир 2-{(E)-2-[(2S,4aS,4bS,8S,8aS)-8-(3-метокси-3-оксопропил)-2,4b,8-триметил-1,2,3,4,4a,4b,5,6,7,8,8a,9-додекагидрофенантрен-2-ил]винил}-бензойной кислоты (V). Бесцветное маслообразное вещество, 0.98 г (83%). $[\alpha]_D^{25} = +6.04$ (*c* = 0.53 в CHCl₃). ESI-HRMS (*m/z*): (*M* + H)⁺ вычислено для C₃₁H₄₂O₄: 478.3078, найдено 478.3076. ИК-спектр (пленка), ν_{\max} , см⁻¹: 754, 970, 1078, 1130, 1166, 1189, 1203, 1253, 1280, 1292, 1382, 1434, 1479, 1722, 1737, 2846, 2865, 2923, 2948. УФ-спектр (этанол), λ_{\max} (lg ϵ), нм: 299 (3.49), 254 (4.11). ¹Н-ЯМР (CDCl₃, 298 К, δ_H, м.д., *J*, Гц): 0.87 (3H, с, CH₃-20), 0.89 (3H, с, CH₃-19), 0.98 (3H, с, CH₃-17), 1.11 (2H, м, H-1,18), 1.22 (1H, м, H-11), 1.35 (1H, д, *J* 13.4, H-12), 1.44–1.62 (9H,

м, H-18,11,2,2,6,12,3,9,3), 1.76 (1H, д, *J* 12.8, H-1), 1.85 (2H, м, H-5,6), 1.97–2.08 (2H, м, 2H-14), 2.18 (2H, т, *J* 7.8, CH₂), 3.63 (3H, с, CO₂Me), 3.87 (3H, с, CO₂Me), 5.34 (1H, уш.с, H-7), 6.04 (1H, д, *J* 16.1, H-15), 7.10 (1H, д, *J* 16.1, H-16), 7.19 (1H, т, *J* 7.5, H-4'), 7.38 (1H, т, *J* 7.5, H-5'), 7.48 (1H, д, *J* 7.5, H-6'), 7.81 (1H, д, *J* 7.5, H-3'). ¹³C-ЯМР (CDCl₃, 298 К, δ_H, м.д.): 15.18 (C²⁰), 18.21 (C²), 19.92 (C¹¹), 20.56 (C¹⁹), 21.75 (C¹⁷), 22.90 (C⁶), 28.43 (C¹⁸), 34.65 (C¹⁰), 35.21 (C¹³), 36.19 (C¹²), 36.63 (C³), 37.23 (CH₂), 38.71 (C¹), 39.26 (C⁴), 46.14 (C¹⁴), 47.89 (C⁵), 51.30 (OMe), 51.71 (OMe), 51.85 (C⁹), 121.39 (C⁷), 123.78 (C¹⁶), 126.19 (C^{4'}), 126.95 (C^{6'}), 127.89 (C^{2'}), 130.16 (C^{3'}), 131.72 (C^{5'}), 135.03 (C^{8'}), 139.88 (C^{1'}), 144.80 (C^{15'}), 167.72 (CO₂Me), 174.70 (CH₂CO₂Me).

3-{{(1S,4aS,4bS,7S,10aS)-7-[(E)-2-(Метоксикарбонил)стирил]-1,4a,7-триметил-1,2,3,4,4a,4b,5,6,7,8,10,10a-додекагидрофенантрен-1-ил}пропановая кислота (VIa). Бесцветное маслообразное вещество. $[\alpha]_D^{25} = +50.21$ (*c* = 0.47 в CHCl₃). Найдено: С 77.52%, Н 8.59%. C₃₀H₄₀O₄ вычислено: С 77.55%, Н 8.68%. ИК-спектр (пленка), ν_{\max} , см⁻¹: 752, 968, 1076, 1128, 1164, 1189, 1207, 1253, 1278, 1294, 1382, 1432, 1448, 1479, 1704, 1722, 2819, 2846, 2863, 2923, 2948, 3062, 3428. УФ-спектр (этанол), λ_{\max} (lg ϵ), нм: 299 (3.45), 254 (4.10). ¹Н-ЯМР (CDCl₃, 298 К, δ_H, м.д., *J*, Гц): 0.89 (3H, с, CH₃-20), 0.91 (3H, с, CH₃-19), 0.91 (3H, с, CH₃-17), 1.13 (3H, м, H-1,18,11), 1.35 (1H, д, *J* 12.1, H-12), 1.43–1.65 (9H, м, H-18,11,2,2,6,12,3,9,3), 1.79 (1H, д, *J* 12.1, H-1), 1.85 (2H, м, H-5,6), 2.01 (1H, д, *J* 14.1, H-14), 2.07 (1H, д, *J* 14.1, H-14), 2.24 (2H, т, *J* 8.3, CH₂), 3.86 (3H, с, CO₂Me), 5.35 (1H, уш.с, H-7), 6.05 (1H, д, *J* 16.1, H-15), 7.08 (1H, д, *J* 16.1, H-16), 7.21 (1H, т, *J* 7.4, H-4'), 7.40 (1H, т, *J* 7.4, H-5'), 7.50 (1H, д, *J* 7.4, H-6'), 7.81 (1H, д, *J* 7.4, H-3'). ¹³C-ЯМР (CDCl₃, 298 К, δ_H, м.д.): 15.19 (C²⁰), 18.23 (C²), 19.97 (C¹¹), 20.53 (C¹⁹), 21.80 (C¹⁷), 21.99 (C⁶), 28.52 (C¹⁸), 34.69 (C¹⁰), 35.27 (C¹³), 36.24 (C¹²), 36.66 (C³), 37.31 (CH₂CO₂H), 38.52 (C¹), 39.29 (C⁴), 46.20 (C¹⁴), 48.03 (C⁵), 51.77 (OMe), 51.90 (C⁹), 121.38 (C⁷), 123.83 (C¹⁶), 126.23 (C⁴), 127.00 (C⁶), 127.99 (C²), 130.19 (C^{3'}), 131.76 (C^{5'}), 135.11 (C^{8'}), 139.91 (C^{1'}), 144.88 (C^{15'}), 167.89 (CO₂Me), 180.71 (CO₂H).

3-[(1S,4aS,4bS,7S,10aS)-7-((E)-2-Азидостерил)-1,4a,7-триметил-1,2,3,4,4a,4b,5,6, 7,8,10,10a-додекагидрофенантрен-1-ил]пропионовая кислота (VIIb). Раствор 0.82 г (2.48 ммоль) соединения (III), 0.61 г (2.48 ммоль) 1-азидо-2-иодбензола (IVb), 0.06 г (0.25 ммоль) Pd(OAc)₂ и 0.68 г (2.48 ммоль) Ag₂CO₃ в 5 мл *t*-BuOH перемешивали при 80°C в течение 21 ч, контроль ТСХ. К охлажденному раствору добавляли 50 мл CHCl₃ и промывали водой (3 × 15 мл). Объединенный органический слой сушили над MgSO₄. Растворитель упаривали, остаток хрома-

тографировали на колонке с силикагелем (элюент – петролейный эфир–Et₂O, от 1 : 10 до 1 : 1), выделяли соединение (**VIIb**). Коричневый порошок. Т. пл. 109.9°C. $[\alpha]_D^{25} = +9.50$ ($c = 0.40$ в CHCl₃). HRMS (EI), m/z : ($M + H$)⁺ вычислено для C₂₈H₃₇O₂N (C₂₈H₃₇O₂N₃–N₂): 419.2819, найдено 419.2816. ИК-спектр (KBr), ν_{max} , см⁻¹: 748, 970, 1201, 1218, 1228, 1290, 1382, 1413, 1425, 1448, 1484, 1706, 2088, 2121, 2431, 2848, 2865, 2923. УФ-спектр (этанол), λ_{max} (lgε), нм: 263 (4.26). ¹H-ЯМР (CDCl₃, 298 К, δ_H, м.д., J, Гц): 0.90 (3H, с, CH₃-17), 0.93 (3H, с, CH₃-19), 0.96 (3H, с, CH₃-20), 1.14 (2H, м, H-1,18), 1.24 (1H, м, H-11), 1.36 (2H, м, H-12,11), 1.42, 1.47, 1.56, 1.65 (9H, м, H-2,2,6,12,18,3,9,3,1), 1.82 (1H, д, J 12.7, H-5), 1.88 (1H, д, J 4.5, H-6), 1.90 (1H, д J 13.7, H-14), 2.05 (1H, д, J 13.7, H-14), 2.26 (2H, т, J 8.4, CH₂), 5.36 (1H, с, H-7), 6.17 (1H, д, J 16.2, H-15), 6.53 (1H, д, J 16.2, H-16), 7.06 (1H, т, J 7.9, H-4'), 7.08 (1H, д, J 7.9, H-3'), 7.22 (1H, д, J 7.9, H-5'), 7.47 (1H, д, J 7.9, H-6'). ¹³C-ЯМР (CDCl₃, 298 К, δ_C, м.д.): 15.26 (C²⁰), 17.27 (C²), 19.36 (C¹¹), 20.61 (C¹⁹), 21.74 (C¹⁷), 22.99 (C⁶), 28.56 (C¹⁸), 34.74 (C¹⁰), 35.32 (C¹²), 36.27 (C¹³), 36.76 (C³), 37.33 (CH₂CO₂H), 38.51 (C⁴), 39.33 (C¹), 46.21 (C¹⁴), 48.01 (C⁵), 51.91 (C⁹), 118.22 (C⁶'), 119.12 (C⁴'), 121.47 (C⁷'), 124.61 (C¹⁶'), 126.66 (C³'), 127.78 (C⁵'), 129.70 (C²'), 135.08 (C⁸'), 136.52 (C¹'), 144.18 (C¹⁵'), 181.04 (CO₂H).

2-((E)-2-((2S,4aS,4bS,8S,8aS)-8-(2-Карбоэтил)-2,4b,8- trimетил-1,2,3,4,4a,4b,5,6,7,8,8a,9-додекагидрофенантрен-2-ил)винил)бензойная кислота (VII**).**

Метод 1. К раствору 0.46 г (0.97 ммоль) соединения (**V**) в системе 9 мл ТГФ/H₂O добавляли 0.14 г (5.82 ммоль) LiOH. Реакционную смесь перемешивали при комнатной температуре в течение 48 ч до полной конверсии (контроль ¹H-ЯМР). Далее по каплям добавляли HCl до pH 2.0, затем 50 мл EtOAc и промывали водой (3 × 15 мл). Органический слой сушили над MgSO₄. Растворитель упаривали, остаток хроматографировали на колонке с силикагелем (элюент – CHCl₃–MeOH, от 100 : 1 до 10 : 1) с выделением продукта (**VII**) (0.37 г, 51%).

Метод 2. К раствору 0.76 г (1.63 ммоль) соединения (**VIa**) в 8 мл MeOH добавляли 4 мл KOH (1 М). Реакционную смесь кипятили 6 ч до полной конверсии (контроль TCX). К охлажденному раствору добавляли HCl до pH 2.0, образующийся белый осадок отфильтровали, промывали водой и сушили на воздухе. Осадок хроматографировали (элюент – CHCl₃–MeOH, 1 : 1), последовательно элюировали соединениями (**VIa**) (0.10 г, 14%) и (**VII**) (0.40 г, 55%). Получили соединение (**VII**), белые кристаллы. Т. пл. 221.9–225.5°C. $[\alpha]_D^{25} = +15.52$ ($c = 0.67$ в CHCl₃ : MeOH, 1 : 1). ESI-HRMS, m/z : ($M + H$)⁺ вычислено для C₂₉H₃₈O₄: 450.2765, найдено 450.2763. ИК-спектр (KBr), ν_{max} , см⁻¹: 752, 968, 1230, 1243, 1267, 1276, 1299, 1388, 1423, 1440, 1454, 1695, 2807, 2821, 2846, 2867, 2921, 2952, 2964, 2996, 3060, 3077, 3405. УФ-спектр (этанол), λ_{max} (lgε), нм: 297 (3.39), 255 (4.13). ¹H-ЯМР (CDCl₃ + CD₃OD, 298 К, δ_H, м.д., J, Гц): 0.67 (3H, с, CH₃-20), 0.69 (3H, с, CH₃-19), 0.73 (3H, с, CH₃-17), 0.91 (3H, м, H-1,18,11), 1.00 (2H, м, H-12,11), 1.11, 1.20, 1.23, 1.26, 1.33, 1.42 (8H, все м, H-2,2,6,12,3, 3,1,9), 1.57 (1H, уш.д, J 12.6, H-5), 1.92 (2H, м, H-6,18), 1.77 (1H, д, J 13.8, H-14), 1.82 (1H, д, J 13.8, H-14), 1.95 (2H, т, J 8.4, CH₂), 5.11 (1H, уш.с, H-7), 5.84 (1H, д, J 16.1, H-15), 6.87 (1H, д, J 16.1, H-16), 6.98 (1H, т, J 7.8, H-4'), 7.17 (1H, т, J 7.8, H-5'), 7.27 (1H, д, J 7.8, H-6'), 7.59 (1H, д, J 7.8, H-3'). ¹³C-ЯМР (CDCl₃ + CD₃OD, 298 К, δ_C, м.д.): 14.64 (C²⁰), 17.80 (C²), 19.55 (C¹¹), 19.98 (C¹⁹), 21.07 (C¹⁷), 22.51 (C⁶), 28.09 (C¹⁸), 34.35 (C¹⁰), 34.86 (C¹³), 35.82 (C¹²), 36.22 (C³), 36.89 (CH₂), 38.48 (C¹), 38.92 (C⁴), 45.76 (C¹⁴), 47.66 (C⁵), 51.57 (C⁹), 120.96 (C⁷), 123.38 (C¹⁶), 125.79 (C⁴'), 126.34 (C⁶'), 128.45 (C²'), 129.80 (C³'), 131.21 (C⁵'), 134.75 (C⁸'), 139.19 (C¹'), 144.17 (C¹⁵'), 169.95 (CO₂H), 176.99 (CO₂H).

дено 450.2763. ИК-спектр (KBr), ν_{max} , см⁻¹: 752, 968, 1230, 1243, 1267, 1276, 1299, 1388, 1423, 1440, 1454, 1695, 2807, 2821, 2846, 2867, 2921, 2952, 2964, 2996, 3060, 3077, 3405. УФ-спектр (этанол), λ_{max} (lgε), нм: 297 (3.39), 255 (4.13). ¹H-ЯМР (CDCl₃ + CD₃OD, 298 К, δ_H, м.д., J, Гц): 0.67 (3H, с, CH₃-20), 0.69 (3H, с, CH₃-19), 0.73 (3H, с, CH₃-17), 0.91 (3H, м, H-1,18,11), 1.00 (2H, м, H-12,11), 1.11, 1.20, 1.23, 1.26, 1.33, 1.42 (8H, все м, H-2,2,6,12,3, 3,1,9), 1.57 (1H, уш.д, J 12.6, H-5), 1.92 (2H, м, H-6,18), 1.77 (1H, д, J 13.8, H-14), 1.82 (1H, д, J 13.8, H-14), 1.95 (2H, т, J 8.4, CH₂), 5.11 (1H, уш.с, H-7), 5.84 (1H, д, J 16.1, H-15), 6.87 (1H, д, J 16.1, H-16), 6.98 (1H, т, J 7.8, H-4'), 7.17 (1H, т, J 7.8, H-5'), 7.27 (1H, д, J 7.8, H-6'), 7.59 (1H, д, J 7.8, H-3'). ¹³C-ЯМР (CDCl₃ + CD₃OD, 298 К, δ_C, м.д.): 14.64 (C²⁰), 17.80 (C²), 19.55 (C¹¹), 19.98 (C¹⁹), 21.07 (C¹⁷), 22.51 (C⁶), 28.09 (C¹⁸), 34.35 (C¹⁰), 34.86 (C¹³), 35.82 (C¹²), 36.22 (C³), 36.89 (CH₂), 38.48 (C¹), 38.92 (C⁴), 45.76 (C¹⁴), 47.66 (C⁵), 51.57 (C⁹), 120.96 (C⁷), 123.38 (C¹⁶), 125.79 (C⁴'), 126.34 (C⁶'), 128.45 (C²'), 129.80 (C³'), 131.21 (C⁵'), 134.75 (C⁸'), 139.19 (C¹'), 144.17 (C¹⁵'), 169.95 (CO₂H), 176.99 (CO₂H).

Кристаллографические данные для соединения (VII): C₂₉H₃₈O₄, $M = 450.59$, кристаллы моноклинные, P2₁, $a = 11.955(2)$, $b = 6.3127(6)$, $c = 16.588(2)$ Å, $\beta = 95.999(4)$ °, $V = 1245.0(2)$ Å³, $Z = 2$, $D_{\text{calcd}} = 1.202$ г/см³, $\mu(\text{Mo}-K_{\alpha}) = 0.078$ мм⁻¹, F(000) = 488, ($\theta = 2.21^{\circ}$ – 25.1° , полнота ($\theta = 50^{\circ}$) 99.5%), бесцветные, размер 0.90 × 0.16 × 0.05 мм³, пропускание 0.805–0.8619, 25391 измеренных отражений в диапазоне показателей $-14 \leq h \leq 14$, $-7 \leq k \leq 7$, $-19 \leq l \leq 19$, 4416 независимых ($R_{\text{инт}} = 0.037$), 309 параметров, 3 ограничения, $R_1 = 0.0391$ (для 3549 наблюдаемых $I > 2\sigma(I)$), $wR_2 = 0.1006$ (все данные).

Данные рентгеноструктурного анализа получали при комнатной температуре на CCD-дифрактометре Карра Арех II (Bruker, Германия) с Mo- K_{α} -излучением ($\lambda = 0.71073$ Å) и графитовым монохроматором. Поглощение корректировали эмпирически по программе SADABS-2016 [28]. Структуру соединения расшифровывали прямым методом по программе SHELXT-2014/5 [29] и уточняли полноматричным методом наименьших квадратов по всем F₂ в анизотропном приближении (у атомов H) с использованием комплекса программ SHELXL-2018/3. Позиции водородов рассчитывали геометрически, параметры атомов водорода уточняли в изотропном приближении в модели наездника. Атомные координаты, длины связей и углы для соединения (VII) депонированы в Кембриджскую базу структурных данных под номером CCDC 2202328. Данные в свободном доступе представлены на сайте: <http://www.ccdc.cam.ac.uk/cgi-bin/catreq.cgi>.

N-(Проп-2-ин-1-ил)-2-{(E)-2-[(2S,4aS,4bS,8S,8aS)-2,4b,8- trimетил-8-(3-оксо-3-(проп-2-ин-1-иламино)пропил)-1,2,3,4,4a,4b,5,6,7,8,8a,9-додекагидрофенантрен-2-ил]винил}бензамид (IX). К раствору 0.53 г (1.18 ммоль) соединения (VII) в 10 мл безводного хлористого метилена в токе аргона при охлаждении льдом и интенсивном перемешивании в течение 15 мин добавляли 0.70 мл (8.26 ммоль) хлористого оксалила в 10 мл хлористого метилена и каталитическое количество ДМФА (две капли). Температуру реакционной смеси поднимали до комнатной, перемешивали 1 ч. Растворитель отгоняли в вакууме, к остатку добавляли 10 мл хлористого метилена и снова удаляли растворитель. Эту процедуру повторяли 4 раза. В остатке получили хлорангидриды кислот, которые использовали далее без очистки. К раствору соединения (VII) в 15 мл безводного хлористого метилена в токе аргона добавляли 0.89 мл (5.90 ммоль) триэтиламина, затем постепенно добавляли 0.24 г (2.60 ммоль) гидрохлорида пропаргиламина. Реакционную смесь перемешивали при комнатной температуре в течение 24 ч (контроль ^1H -ЯМР). Растворитель удаляли в вакууме, остаток хроматографировали на колонке с силикагелем (элюент — CHCl_3 — MeOH , от 100 : 1 до 10 : 1), выделили соединение (IX) (0.45 г, 72%). Бесцветное маслообразное вещество. $[\alpha]_D^{25} = +5.47$ ($c = 1.17$ в CHCl_3). ESI-HRMS (m/z): ($M + \text{H}$) $^+$ вычислено для $\text{C}_{35}\text{H}_{44}\text{O}_2\text{N}_2$: 524.3397, найдено 524.3399. ИК-спектр (пленка), ν_{max} , cm^{-1} : 644, 665, 754, 1214, 1263, 1295, 1382, 1448, 1469, 1527, 1646, 1722, 2121, 2852, 2923, 3305, 3419. УФ-спектр (этанол), λ_{max} ($\lg \epsilon$), нм: 253 (3.99). ^1H -ЯМР (CDCl_3 , 298 К, δ_{H} , м.д., J , Гц): 0.82 (6H, с, CH_3 -17,20), 0.89 (3H, с, CH_3 -19), 1.04 (3H, м, H-1,18,11), 1.23, 1.28, 1.37, 1.49, 1.56 (10H, все м, H-12,11,2,2,6,12,18,3,3,1), 1.80 (3H, м, H-6,5,9), 1.98, 2.01 (4H, оба м, CH_2 , H-14,14), 2.12 (1H, с, $\text{C}\equiv\text{CH}$), 2.20 (1H, с, $\text{C}\equiv\text{CH}$), 3.88 (2H, м, $\text{CH}_2\text{C}\equiv\text{CH}$), 4.11 (1H, д, J 4.9, $\text{CH}_2\text{C}\equiv\text{CH}$), 4.13 (1H, д, J 4.9, $\text{CH}_2\text{C}\equiv\text{CH}$), 5.27 (1H, уш.с, H-7), 6.05 (1H, д, J 16.1, H-15), 6.55 (2H, д, J 16.1, H-16, NH), 6.63 (1H, т, J 4.9, NH), 7.13 (1H, т, J 7.5, H-6'), 7.27 (1H, т, J 7.5, H-4'), 7.38 (2H, т, J 7.5, H-3',5'). ^{13}C -ЯМР (CDCl_3 , 298 К, δ_{C} , м.д.): 15.27 (C^{20}), 18.31 (C^2), 19.97 (C^{11}), 20.79 (C^{19}), 21.77 (C^{17}), 23.02 (C^6), 29.08 (C^{18}), 29.52 ($\text{CH}_2\text{C}\equiv\text{CH}$), 30.69 ($\text{CH}_2\text{C}\equiv\text{CH}$), 34.87 (C^{10}), 35.34 (C^{13}), 36.24 (C^{12}), 36.85 (C^3), 37.45 (CH_2), 39.37 (C^1), 39.40 (C^5), 46.12 (C^{14}), 48.03 (C^4), 51.96 (C^9), 71.45, 71.90 (2 $\text{C}\equiv\text{CH}$), 79.21, 79.52 (2 $\text{C}\equiv\text{CH}$), 121.67 (C^7), 122.55 (C^{16}), 126.63 ($\text{C}^{3'}$), 126.82 (C^4), 127.81 ($\text{C}^{6'}$), 130.37 (C^5), 133.72 (C^2), 134.95 (C^8), 136.27 (C^1), 145.95 (C^{15}), 168.82 (CON), 173.20 (CON).

Общая методика синтеза (XII) и (XIII). К раствору (1.19 ммоль) соединения (VIIb) или (X) в

10 мл безводного хлористого метилена в токе аргона при охлаждении льдом и интенсивном перемешивании в течение 15 мин добавляли 0.20 мл (2.38 ммоль) хлористого оксалила в 10 мл хлористого метилена и каталитическое количество ДМФА (две капли). Температуру реакционной смеси поднимали до комнатной, перемешивали в течение 4 ч. Растворитель отгоняли в вакууме, к остатку добавляли 10 мл хлористого метилена и снова удаляли растворитель. Эту процедуру повторяли 4 раза. В остатке получили соответствующие хлорангидриды кислот, которые использовали далее без очистки. К раствору хлорангидрида кислоты (VIIb) или (X) в 15 мл безводного хлористого метилена в токе аргона добавляли одной порцией 0.33 мл (2.38 ммоль) триэтиламина, затем постепенно добавляли 0.17 г (1.31 ммоль) (XI). Реакционную смесь перемешивали при комнатной температуре 24 ч (контроль ^1H -ЯМР). Растворитель удаляли в вакууме, остаток хроматографировали на колонке с силикагелем (элюент CHCl_3 — MeOH , от 100 : 1 до 10 : 1), выделили соединение (XI) или (XIII).

Метиловый эфир 2-{3-[$(1S,4aS,4bS,7S,10aS)-7-((E)-2-азидостерил)-1,4a,7- trimетил-1,2,3,4,4a,4b,5,6,7,8,10,10a$ -додекагидрофенантрен-1-ил]пропанамидо}пент-4-ин карбоновой кислоты (XI). Бесцветное маслообразное вещество, 0.32 г, 48%. $[\alpha]_D^{25} = +35.79$ ($c = 0.57$ в CHCl_3). HRMS (EI), m/z : ($M + \text{H}$) $^+$ вычислено для $\text{C}_{34}\text{H}_{44}\text{O}_3\text{N}_4$: 556.3408, найдено 556.3401. ИК-спектр (пленка), ν_{max} , cm^{-1} : 754, 973, 1180, 1216, 1288, 1344, 1363, 1382, 1446, 1484, 1506, 1662, 1743, 2088, 2121, 2848, 2865, 923, 2952, 3307. УФ-спектр (этанол), λ_{max} ($\lg \epsilon$), нм: 242 (4.29), 264 (4.23). ^1H -ЯМР (CDCl_3 , 298 К, δ_{H} , м.д., J , Гц): 0.90 (3H, с, CH_3 -17), 0.93 (3H, с, CH_3 -19), 0.96 (3H, с, CH_3 -20), 1.14 (2H, м, H-1,18), 1.24 (1H, м, H-11), 1.36—1.66 (11H, м, H-12,11,2,2,6,12,18,3,9,3,1), 1.82 (1H, д, J 12.2, H-5), 1.88 (2H, м, H-6,14), 2.01 (1H, м, H-14), 2.16 (2H, т, J 8.4, CH_2), 2.25 (1H, т, J 8.4, $\text{C}\equiv\text{CH}$), 2.75 (2H, м, $\text{CH}_2\text{C}\equiv\text{CH}$), 3.77 (3H, с, CO_2Me), 4.72 (1H, м, CH), 5.36 (1H, с, H-7), 6.17 (1H, д, J 16.3, H-15), 6.24 (1H, д, J 7.7, NH), 6.52 (1H, д, J 16.3, H-16), 7.05 (1H, т, J 7.6, H-4'), 7.09 (1H, дд, J 7.6, 1.0, H-3'), 7.20 (1H, дд, J 7.6, 1.0, H-5'), 7.46 (1H, д, J 7.6, H-6'). ^{13}C -ЯМР (CDCl_3 , 298 К, δ_{C} , м.д.): 15.30 (C^{20}), 18.34 (C^2), 20.03 (C^{11}), 20.86 (C^{19}), 21.78 (C^{17}), 22.36 ($\text{CH}_2\text{C}\equiv\text{CH}$), 23.04 (C^6), 30.79 (C^{18}), 34.92 (C^{10}), 35.36 (C^{12}), 36.32 (C^{13}), 36.79 (C^3), 37.49 (CH_2), 39.29 (C^4), 39.40 (C^1), 46.24 (C^{14}), 47.95 (C^5), 50.34 (CO_2CH_3), 51.97 (C^9), 52.72 (CH), 71.47 ($\text{C}\equiv\text{CH}$), 78.39 ($\text{C}\equiv\text{CH}$), 118.26 (C^6), 119.14 (C^4), 121.61 (C^7), 124.65 (C^{16}), 126.17 ($\text{C}^{3'}$), 127.81 (C^5), 129.76 (C^2), 135.10 (C^8), 136.57 (C^1), 144.27 (C^{15}), 170.91 (CO_2CH_3), 181.04 (CONH).

Метиловый эфир 2-[*(1R,4aR,4bS,7S,10aR)-7-((E)-2-азидостирил)-1,4a,7-триметил-1,2,3,4,4a,4b,5,6,7,8,10a-*-додекагидрофенантрен-1-карбоксимило]пент-4-ин карбоновой кислоты (XIII). Коричневое масло, 0.43 г, 68%. $[\alpha]_D^{25} = +50.00$ ($c = 0.50$ в CHCl_3). HRMS (EI), m/z : ($M + H$)⁺ вычислено для $C_{32}\text{H}_{40}\text{O}_3\text{N}_4$: 528.3095, найдено 528.3098. ИК-спектр (пленка), ν_{max} , cm^{-1} : 663, 754, 968, 1159, 1180, 1218, 1286, 1349, 1384, 1440, 1506, 1654, 2088, 2121, 2848, 2867, 2923, 2950, 3307, 3448. УФ-спектр (этанол), λ_{max} (lg ϵ), нм: 241 (4.28), 264 (4.21). ^1H -ЯМР (CDCl_3 , 298 К, δ_{H} , м.д., J , Гц): 0.91 (3H, с, CH_3 -17), 0.94 (3H, с, CH_3 -19), 1.18 (1H, м, H-1), 1.22 (1H, м, H-11), 1.32 (3H, с, CH_3 -20), 1.39 (2H, м, H-12,11), 1.53 (8H, уш.м, H-2,2,6,12,3,9,3,1), 1.70 (1H, дд, J 11.6, 4.9, H-5), 1.76–1.86 (2H, м, H-6,14), 1.90 (1H, м, H-14), 2.01 (1H, т, J 2.7, $\text{C}\equiv\text{CH}$), 2.73 (1H, ддд, J 17.0, 4.3, 2.7, $\text{CH}_2\text{C}\equiv\text{CH}$), 2.80 (1H, ддд, J 17.0, 4.9, 2.7, $\text{CH}_2\text{C}\equiv\text{CH}$), 3.76 (3H, с, CO_2Me), 4.67 (1H, м, CH), 5.30 (1H, д, J 4.5, H-7), 6.14 (1H, д, J 16.2, H-15), 6.50 (1H, д, J 16.2, H-16), 6.61 (1H, д, J 7.4, NH), 7.03 (1H, т, J 7.5, H-4'), 7.07 (1H, д, J 7.5, H-3'), 7.20 (1H, т, J 7.8, H-5'), 7.45 (1H, д, J 7.8, H-6'). ^{13}C -ЯМР (CDCl_3 , 298 К, δ_{C} , м.д.): 15.23 (C²⁰), 17.05 (C¹⁹), 17.90 (C²), 19.76 (C¹¹), 21.69 (C¹⁷), 21.92 (C⁶), 24.57 ($\text{CH}_2\text{C}\equiv\text{CH}$), 34.95 (C¹⁰), 36.17 (C¹²), 36.67 (C¹³), 36.78 (C³), 38.56 (C¹), 45.44 (C⁵), 46.16 (C¹⁴), 50.70 (CO_2CH_3), 51.74 (C⁹), 52.59 (CH), 60.42 (C⁴), 71.35 ($\text{C}\equiv\text{CH}$), 78.43 ($\text{C}\equiv\text{CH}$), 118.18 (C⁶), 119.15 (C⁴), 121.03 (C⁷), 124.59 (C¹⁶), 126.12 (C³), 127.76 (C⁵), 129.66 (C²), 135.11 (C⁸), 136.49 (C¹), 144.08 (C¹⁵), 170.97 (CO_2CH_3), 178.16 (C¹⁸).

3-{(*1S,4aS,4bS,7S,10aS)-7-[(E)-2-Азидостирил]-1,4a,7-триметил-1,2,3,4,4a,4b,5,6,7,8,10,10a-*-додекагидрофенантрен-1-ил}-*N*-(2-оксо-2-((2-оксо-2-(проп-2-ин-1-иламино)-этил)амино)этил}пропанамид (XV). К раствору 0.53 г (1.19 ммоль) соединения (VIIb) в 10 мл безводного хлористого метиlena в токе аргона при охлаждении льдом и интенсивном перемешивании в течение 15 мин добавили 0.20 мл (2.38 ммоль) хлористого оксалила в 10 мл хлористого метиlena и каталитическое количество ДМФА (две капли). Температуру реакционной смеси поднимали до комнатной, перемешивали в течение 4 ч. Растворитель отгоняли в вакууме, к остатку добавляли 10 мл хлористого метиlena и снова удаляли растворитель. Эту процедуру повторяли 4 раза. В остатке получили хлорангидрид дикислоты (VIIb), который использовали далее без очистки. К раствору соединения (VIIb) в 15 мл безводного хлористого метиlena в токе аргона добавляли одной порцией 0.33 мл (2.38 ммоль) триэтиламина, затем постепенно добавляли 0.37 г (1.31 ммоль) соединения (XIV). Реакционную смесь перемешивали при комнатной температуре в течение 24 ч (контроль ^1H -ЯМР). Растворитель

удаляли в вакууме, остаток хроматографировали на колонке с силикагелем (элюент CHCl_3 – MeOH , от 100 : 1 до 10 : 1), выделили соединение (XV) (0.28 г, 40%). Коричневый порошок. Т. пл. 150.2°C.

$[\alpha]_D^{25} = +6.00$ ($c = 0.50$ в CHCl_3). ESI-HRMS, m/z : ($M + H$)⁺ вычислено для $C_{35}\text{H}_{46}\text{O}_3\text{N}_6$: 598.3626, найдено 598.3622. ИК-спектр (KBr), ν_{max} , cm^{-1} : 665, 750, 1253, 1286, 1336, 1365, 1380, 1446, 1484, 1523, 1631, 1693, 2088, 2121, 2848, 2861, 2921, 3293. УФ-спектр (этанол), λ_{max} (lg ϵ), нм: 226 (4.12), 242 (4.19), 263 (4.14), 305 (3.15). ^1H -ЯМР (CDCl_3 , 298 К, δ_{H} , м.д., J , Гц): 0.79 (3H, с, CH_3 -17), 0.81 (3H, с, CH_3 -19), 0.84 (3H, с, CH_3 -20), 1.00–1.09 (3H, м, H-1,11,18), 1.24–1.53 (10H, м, H-12,11,2,2,6, 12,3,9,3,18), 1.70 (1H, уш.д, J 12.8, H-1), 1.77 (2H, м, H-5,6), 1.88, 1.91 (2H, оба м, H-14,14), 2.04 (2H, т, J 8.5, CH_2), 2.13 (1H, т, J 2.4, $\text{C}\equiv\text{CH}$), 3.72, 3.75, 3.85, 3.92 (9H, все м, 2H-5",8",2", 3NH), 5.24 (1H, уш.с, H-7), 6.04 (1H, д, J 16.3, H-15), 6.40 (1H, д, J 16.3, H-16), 6.93 (1H, д, J 7.8, H-3'), 6.97 (1H, д, J 7.8, H-4'), 7.10 (1H, м, H-5'), 7.34 (1H, д, J 7.8, H-6'). ^{13}C -ЯМР ($\text{CDCl}_3 + \text{CD}_3\text{OD}$, 298 К, δ_{C} , м.д.): 14.97 (C²⁰), 18.05 (C²), 19.73 (C¹¹), 20.29 (C¹⁹), 21.43 (C¹⁷), 22.70 (C⁶), 28.44 (C^{8"}), 30.10 (C¹⁸), 34.56 (C¹⁰), 35.08 (CH_2), 36.00 (C¹³), 36.49 (C¹²), 37.15 (C³), 39.11 (C¹), 39.31 (C⁴), 42.00 (C^{5"}), 42.52 (C^{2'}), 45.96 (C¹⁴), 47.95 (C⁵), 51.72 (C⁹), 70.84 ($\text{C}\equiv\text{CH}$), 78.77 ($\text{C}\equiv\text{CH}$), 117.95 (C⁶), 118.86 (C^{4'}), 121.25 (C⁷), 124.41 (C¹⁶), 125.87 (C^{3'}), 127.58 (C^{5'}), 129.41 (C^{2'}), 134.87 (C⁸), 136.24 (C^{1'}), 143.89 (C¹⁵), 169.01 (C^{6"}), 170.12 (C^{3"}), 175.69 (CON).

(2'S,4'aS,4'bR,8'R,8'aR)-2',4'b,8'-Триметил-1',2',3',4',4'a,4'b,5',6',7',8',8'a,9'-додекагидро-8Н,14Н-11,14-диокса-6,19-диаза-8-(4,1),17(1,4)-триазол-1-(2',8')-фенантрен-4-(1,2)-бензолциклоизофuran-1-ен-5,20-дион (XVII). К раствору 0.52 г (1.01 ммоль) соединения (IX) в 101 мл CH_2Cl_2 при перемешивании последовательно добавляли 0.02 г (0.10 ммоль) 1,2-бис(2-азидоэтокси)этана (XVI), раствор 0.10 г (0.40 ммоль) $\text{CuSO}_4 \cdot 5\text{H}_2\text{O}$ в 1 мл H_2O , раствор 0.40 г (2.02 ммоль) аскорбата натрия в 1 мл H_2O ; перемешивали при 40°C в течение 10 ч; затем добавляли 0.02 г (0.10 ммоль) азива и перемешивали при 40°C в течение 10 ч. Процедуру повторяли 3 раза, затем добавляли раствор 0.05 г (0.20 ммоль) $\text{CuSO}_4 \cdot 5\text{H}_2\text{O}$ в 1 мл H_2O , раствор 0.20 г (1.01 ммоль) NaAsc в 1 мл H_2O , 0.02 г (0.10 ммоль) диазида (XVI); перемешивали при 40°C в течение 10 ч, добавляли 0.02 г (0.10 ммоль) диазида (XVI) и снова перемешивали при 40°C в течение 10 ч. Процедуру повторяли 3 раза. Смесь перемешивали при 40°C оставшиеся 20 ч. Реакционную смесь охлаждали до комнатной температуры. Органический слой отделяли, промывали водой (3×50 мл), сушили над MgSO_4 . Растворитель удалили в вакууме,

остаток хроматографировали на колонке с силикагелем (элюент $\text{CHCl}_3\text{-MeOH}$, от 100 : 1 до 10 : 1), выделили соединение (XVII) (0.49 г, 43%).

Бесцветное маслообразное вещество. $[\alpha]_{D}^{25} = -23.71$ ($c = 0.70$ в $\text{CHCl}_3\text{-MeOH}$, 1 : 1). ESI-HRMS, m/z : ($M + H$)⁺ вычислено для $\text{C}_{41}\text{H}_{56}\text{O}_4\text{N}_8$: 724.4419, найдено 724.4410. ИК-спектр (пленка), ν_{\max} , см⁻¹: 665, 754, 970, 1049, 1133, 1216, 1238, 1299, 1351, 1365, 1380, 1429, 1456, 1525, 1596, 1650, 2865, 2921, 3293, 3305. УФ-спектр (этанол), λ_{\max} (lgε), нм: 253 (3.94). ¹Н-ЯМР (CDCl_3 , 298 К, δ_H, м.д., J , Гц): 0.82 (3H, с, $\text{CH}_3\text{-}11'$), 0.84 (3H, с, $\text{CH}_3\text{-}13'$), 0.89 (3H, с, $\text{CH}_3\text{-}12'$), 1.05–1.30 (7H, м, $\text{H-}5',22,4',4',9',7',3'$), 1.42–1.59 (7H, м, $\text{H-}6',6',7',4'a,22,9',3'$), 1.72–1.82 (4H, м, $\text{H-}8'a, 5',1',1'$), 2.08 (2H, м, 2H-21), 3.47 (4H, м, 2H-12,13), 3.76 (4H, м, 2H-10,15), 4.33 (1H, дд, J 15.0, 5.3, H-18), 4.40–4.46 (4H, м, 2H-9,16), 4.53 (2H, дд, J 14.9, 5.3, H-7,7), 4.71 (1H, дд, J 15.0, 5.3, H-18), 5.26 (1H, м, H-10'), 6.06 (1H, д, J 16.1, H-1), 6.31 (1H, д, J 16.1, H-2), 6.74 (2H, т, J 5.3, NH-6,19), 7.18 (1H, т, J 7.4, H-2br), 7.29 (1H, т, J 7.4, H-6br), 7.39 (1H, д, J 7.4, H-5br), 7.43 (1H, д, J 7.4, H-1br), 7.67 (1H, с, H-17), 7.72 (1H, с, H-8). ¹³C-ЯМР (CDCl_3 , 298 К, δ_C, м.д.): 15.26 (C^{13}'), 18.21 (C^6'), 19.86 (C^4'), 20.96 (C^{12}'), 22.80 (C^{11}'), 23.02 (C^9'), 30.79 (C^{22}'), 34.78 (C^7'), 35.06 (C^{4b}'), 35.22 (C^{18}'), 36.23 (C^2'), 36.35 (C^3'), 36.68 (C^7'), 37.50 (C^{21}'), 39.40 (C^5'), 39.77 (C^8'), 43.82 (C^1'), 47.95 (C^{8a}'), 50.09, 50.24 ($\text{C}^{9,16}'$), 52.08 (C^{4a}'), 69.24, 69.47 ($\text{C}^{10,15}'$), 70.47, 70.49 ($\text{C}^{12,13}'$), 121.24 (C^{10}'), 121.61 (C^2'), 122.92 (C^{17}')*, 123.69 (C^8')*, 126.03 (C^{5br}'), 126.68 (C^{6br}'), 127.56 (C^{2br}'), 129.96 (C^{1br}'), 134.42 (C^3'), 135.69 (C^{10a}'), 135.71 (C^4'), 144.08 (C^4'), 144.94 (C^1'), 145.05 (C^4''), 169.45 (C^5'), 173.66 (C^{20}').

(¹Z,5²S,5⁴aS,5⁴bS,5⁸S,5⁸aS,5¹⁰Z,3E)-5²,5^{4b},5⁸-Триметил-5¹,5²,5³,5⁴,5^{4a},5^{4b},5⁵,5⁶,5⁷,5⁸,5^{8a},5⁹-доде-
кагидро-11Н-9,12,15-триаза-1(1,4)-триазол-5(2,8)-
фенантрен-2(1,2)-бензолциклогексадекафен-3-ен-
8,11,14-трион (XVIII). Смесь 0.12 г (0.60 ммоль)
NaAsc в 1 мл H_2O (1.0 мл) и 0.03 г (0.12 ммоль)
 $\text{CuSO}_4 \cdot 5\text{H}_2\text{O}$ в H_2O (1.0 мл) добавляли при ин-
тенсивном перемешивании к раствору 0.36 г
(0.60 ммоль) соединения (XV) в 60 мл CH_2Cl_2 . Ре-
акционную смесь перешивали при 40°C в течение
80 ч (контроль ТСХ и ¹Н-ЯМР). После охлажде-
ния добавляли 5 мл воды, органический слой от-
деляли, промывали водой (3 × 30 мл) и сушили
над MgSO_4 . Растворитель удаляли в вакууме,
остаток хроматографировали на колонке с сили-
кагелем (элюент $\text{CHCl}_3\text{-MeOH}$, от 100 : 1 до
10 : 1), выделили соединение (XVIII) (0.15 г, 42%).

Белый порошок. Т. пл. 111.2°C. $[\alpha]_{D}^{25} = +27.00$ ($c = 0.20$ в CHCl_3). ESI-HRMS, m/z : ($M + H$)⁺ вы-
числено для $\text{C}_{35}\text{H}_{46}\text{O}_3\text{N}_6$: 598.3626, найдено

598.3624. ИК-спектр (KBr), ν_{\max} , см⁻¹: 759, 1041, 1241, 1257, 1382, 1457, 1527, 1660, 2852, 2923, 3295. УФ-спектр (этанол), λ_{\max} (lgε), нм: 242 (3.95). ¹Н-ЯМР (CDCl_3 , 298 К, δ_H, м.д., J , Гц): 0.81 (3H, с, $\text{CH}_3\text{-}11'$), 0.86 (3H, с, $\text{CH}_3\text{-}13'$), 0.90 (3H, с, $\text{CH}_3\text{-}12'$), 1.23 (7H, м, $\text{H-}5',6,4',7',7',4',6'$), 1.41–1.53 (4H, м, $\text{H-}6,9',3',4a'$), 1.70–1.98 (7H, м, $\text{H-}8a',3',1',1'$, 5',9',6'), 2.15, 2.24 (2H, оба м, 2H-7), 3.82–4.02 (4H, м, $\text{H-}13,13,16$, NH-15), 4.06 (1H, дд, J 16.7, 5.8, H-16), 4.56 (2H, м, 2H-10), 5.25 (1H, уш.с, H-10'), 5.90 (1H, д, J 16.3, H-4), 6.12 (1H, д, J 16.3, H-5), 6.75 (1H, уш.с, NH-9), 7.17 (1H, уш.с, NH-12), 7.29 (1H, м, H-4br), 7.43 (1H, т, J 8.3, H-5br), 7.48 (1H, м, H-6br), 7.61 (1H, д, J 7.7, H-1br), 7.74 (1H, с, H-1). ¹³C-ЯМР (CDCl_3 , 298 К, δ_C, м.д.): 15.13 (C^{13}'), 18.27 (C^6'), 19.84 (C^4'), 23.16 (C^{11}'), 23.25 (C^9'), 24.21 (C^{12}'), 30.71 (C^6'), 34.67 (C^{4b}'), 35.14 (C^7'), 35.73 (C^{16}'), 36.33 (C^7'), 36.62 (C^3'), 37.19 (C^2'), 37.40 (C^5'), 39.24 (C^{13}'), 43.22 (C^{10}'), 43.29 (C^1'), 43.50 (C^8'), 44.77 (C^{8a}'), 51.60 (C^{4a}'), 118.26 (C^4'), 121.55 (C^{10}'), 124.83 (C^1'), 126.29 (C^{4br}'), 126.82 (C^{1br}'), 127.46 (C^{5br}'), 129.91 (C^{6br}'), 133.74 (C^3'), 134.26 (C^2'), 135.15 (C^{10a}'), 144.08 (C^{17}'), 146.40 (C^5'), 168.85 (C^{14}'), 169.99 (C^{11}'), 174.69 (C^8').

Культуры клеток. Линии опухолевых клеток человека MCF7 (ATCC HTB-22, аденоракарцинома молочной железы), U-87 MG (ATCC HTB-14, мультиформная глиобластома), DU 145 (ATCC HTB-81, рак простаты), а также иммортализованные клетки легочных фибробластов hTERT (ATCC CRL-4058) (нераковый контроль) были приобретены из коллекции ATCC (США). Клетки культивировали в среде RPMI-1640, содержащей 10% сыворотки крови эмбрионов крупного рогатого скота, 2 мМ/л L-глутамина, 80 мкг/мл гентамицина и 30 мг/мл линкомицина при 37°C в CO_2 -инкубаторе. Исследуемые соединения и препарат сравнения доксорубицин (Сандоз, Австрия) растворяли в диметилсульфоксиде (ДМСО) и добавляли к клеточной культуре в концентрациях 0.15–160 мг/мл. Клетки, инкубируемые без препарата, использовали в качестве контроля.

MTT-тест. Для определения GI₅₀ (дозы, на 50% ингибирующей рост клеток) использовали стандартный МТТ-тест [16, 23]. Статистическую обработку данных проводили с помощью программ Microsoft Excel-2007, STATISTICA 6.0, GraphPad Prism 5.0. По результатам трех независимых экспериментов (4–5 повторностей в каждом) рассчитывали среднее значение GI₅₀ и стандартное отклонение (Mean ± SD). Полученные данные представлены в табл. 1.

ЗАКЛЮЧЕНИЕ

Синтезированы новые производные изопимаровой кислоты, содержащие алкилкарбоксиль-

ные заместители в положении C4 и азидоарильные фрагменты в положении C16 трициклического остова. Предложены методики получения новых макроциклических дитерпеноидов пимаранового типа, содержащих бис-1,2,3-триазольный или дипептидный и 1,2,3-триазольный фрагменты в линкерной цепи. Выявлено макрогетероциклическое соединение (**XXIIIa**), обладающие селективной цитотоксичностью в отношении опухолевых клеток линии MCF7, имеющее перспективы для дальнейшего изучения механизма противоопухолевого действия.

БЛАГОДАРНОСТИ

Авторы выражают благодарность Химическому исследовательскому центру коллективного пользования СО РАН за проведение спектральных и аналитических измерений.

ФОНДОВАЯ ПОДДЕРЖКА

Исследование выполнено при финансовой поддержке Российского фонда фундаментальных исследований (проект № 19-33-60043) и государственного задания (тема № 1021051503128-9-1.4.1).

СОБЛЮДЕНИЕ ЭТИЧЕСКИХ СТАНДАРТОВ

Настоящая статья не содержит описания исследований с участием людей или использованием животных в качестве объектов исследования.

КОНФЛИКТ ИНТЕРЕСОВ

Авторы заявляют об отсутствии конфликта интересов.

СПИСОК ЛИТЕРАТУРЫ

1. Gromova M.A., Kharitonov Yu.V., Borisov S.A., Rybalova T.V., Tolstikova T.G., Shultz E.E. // Chem. Nat. Compd. 2022. V. 58. P. 55–64. <https://doi.org/10.1007/s10600-022-03596-y>
2. Keeling C.I., Bohlmann J. // Phytochemistry. 2006. V. 67. P. 2415–2423. <https://doi.org/10.1016/j.phytochem.2006.08.019>
3. Толстиков Г.А., Толстикова Т.Г., Шульц Э.Э., Толстиков С.Е., Хвостов М.В. // Смолянные кислоты хвойных России. Химия и фармакология / Ред. Трофимов Б.А. Новосибирск: Гео, 2011. С. 207–242.
4. Kugler S., Ossowicz P., Malarczyk-Matusiak K., Wierzbicka E. // Molecules. 2019. V. 24. P. 1651. <https://doi.org/10.3390/molecules24091651>
5. Smith E., Williamson E., Zloh M., Gibbons S. // Phytother. Res. 2005. V. 19. P. 538–542. <https://doi.org/10.1002/ptr.1711>
6. Coté H., Boucher M.-A., Pichette A., Roger B., Legault J. // J. Ethnopharmacology. 2016. V. 194. P. 684–689. <https://doi.org/10.1016/j.jep.2016.10.035>
7. Pferschy-Wenzig E.M., Kunert O., Presser A., Bauer R. // J. Agric. Food Chem. 2008. V. 56. P. 11688–11693. <https://doi.org/10.1021/jf8024002>
8. Imaizumi Y., Sakamoto K., Yamada A., Hotta A., Ohya S., Muraki K., Uchiyama M., Ohwada T. // Mol. Pharmacol. 2002. V. 62. P. 836–846. <https://doi.org/10.1124/mol.62.4.836>
9. Salari S., Silvera Ejneby M., Brask J., Elinder F. // Acta Physiol. (Oxf.). 2018. V. 222. P. e12895. <https://doi.org/10.1111/apha.12895>
10. Ge L., Hoa N.T., Wilson Z., Arismendi-Morillo G., Kong X.-T., Tajhya R.B., Beeton C., Jadus M.R. // Int. Immunopharmacol. 2014. V. 22. P. 427–443. <https://doi.org/10.1016/j.intimp.2014.06.040>
11. Sizemore G., McLaughlin S., Newman M., Brundage K., Ammer A., Martin K., Pugacheva E., Coad J., Mattes M.D., Yu H.-G. // BMC Cancer. 2020. V. 20. P. 595. <https://doi.org/10.1186/s12885-020-07071-1>
12. Lu Y., Zhao Z., Chen Y., Wang J. // Lett. Org. Chem. 2021. V. 18. P. 950–956. <https://doi.org/10.2174/1570178618666210813121953>
13. Lu Y.-J., Zhao Z.-D., Chen Y.-X., Wang J., Xu S.-C., Gu Y. // J. Asian Nat. Prod. Res. 2020. V. 23. P. 545–555. <https://doi.org/10.1080/10286020.2020.1810668>
14. Liu J., Lu Y., Wang J., Bi L., Zhao Z. // Chin. J. Org. Chem. 2017. V. 37. P. 731–738. <https://doi.org/10.6023/cjoc201610017>
15. Gromova M.A., Kharitonov Yu.V., Pokrovskii M.A., Bagryanskaya I.Yu., Pokrovskii A.G., Shul'ts E.E. // Chem. Nat. Compd. 2019. V. 55. P. 52–59. <https://doi.org/10.1007/s10600-019-02613-x>
16. Gromova M.A., Kharitonov Yu.V., Golubeva T.S., Shul'ts E.E. // Macroheterocycles. 2021. V. 14. P. 231–239. <https://doi.org/10.6060/mhc210945s>
17. Gromova M.A., Kharitonov Yu.V., Rybalova T.V., Shul'ts E.E. // Monatsh. Chem. 2020. V. 151. P. 1817–1827. <https://doi.org/10.1007/s00706-020-02713-3>
18. Gromova M.A., Kharitonov Y.V., Rybalova T.V., Shul'ts E.E. // Macroheterocycles. 2021. V. 14. P. 105–111. <https://doi.org/10.6060/mhc200817s>
19. Zhao S., Wang Z.-P., Wen X., Li S., Wei G., Guo J., He Y. // Org. Lett. 2020. V. 22. P. 6632–6636. <https://doi.org/10.1021/acs.orglett.0c02403>
20. Thirumurugan P., Matosiuk D., Jozwiak K. // Chem. Rev. 2013. V. 113. P. 4905–4979. <https://doi.org/10.1021/cr200409f>
21. Klein E., DeBonis S., Thiede B., Skoufias D.A., Kozjelski F., Lebeau L. // Bioorg. Med. Chem. 2007. V. 15. P. 6474–6488. <https://doi.org/1016/j.bmc.2007.06.016>
22. Spek A.L. // J. Appl. Cryst. 2003. V. 36. P. 7–13. <https://doi.org/10.1107/S0021889802022112>
23. Wilson J.K., Sargent J.M., Elgie A.W., Hill J.G., Taylor C.G. // Br. J. Cancer. 1990. V. 62. P. 189–194. <https://doi.org/10.1038/bjc.1990.258>
24. Kharitonov Yu.V., Shakirov M.M., Shul'ts E.E. // Chem. Nat. Compd. 2014. V. 49. P. 1067–1075. <https://doi.org/10.1007/s10600-014-0823-1>

25. Zhang Z., Xiao F., Huang B., Hu J., Fu B., Zhang Z. // Org. Lett. 2016. V. 18. P. 908–911. <https://doi.org/10.1021/acs.orglett.6b00607>
26. Wang H., He C., Pan Y., Yao C., Wu Q., Deng H. // J. Incl. Phenom. Macrocycl. Chem. 2012. V. 73. P. 177–183. <https://doi.org/10.1007/s10847-011-0040-5>
27. Larionov V.A., Adonts H.V., Gugkaeva Z.T., Smol'yakov A.F., Saghyan A.S., Miftakhov M.S., Kuznetsova S.A., Maleev V.I., Belokon Yu.N. // ChemistrySelect. 2018. V. 3. P. 3107–3110. <https://doi.org/10.1002/slct.201800228>
28. Krause L., Herbst-Irmer R., Sheldrick G.M., Stalke D. // J. Appl. Cryst. 2015. V. 48. P. 3–10. <https://doi.org/10.1107/S1600576714022985>
29. Sheldrick G.M. // Acta Crystallogr. 2015. A71. P. 3–8. <https://doi.org/10.1107/S2053273314026370>

Synthetic Transformations of Higher Terpenoids. 42. Synthesis of New 18-Nor-4-(Carboxyethyl)Isopimara-7,15-Diene Derivatives and Study of Their Cytotoxicity on MCF7, U-87 MG and DU 145 Cancer Cell Lines

M. A. Gromova*, **, Y. V. Kharitonov**, T. V. Rybalova**, V. A. Larionov***,
T. S. Golubeva****, and E. E. Shults**, #

#Phone +7 (383) 330-85-33; e-mail: schultz@nioch.nsc.ru

*Novosibirsk State Pedagogical University (NSPU), ul. Vilyuskaja 28, Novosibirsk, 630126 Russia

**Vorozhtsov Novosibirsk Institute of Organic Chemistry, Siberian Branch of the Russian Academy of Sciences,
prosp. Akad. Lavrentyeva 9, Novosibirsk, 630090 Russia

***Nesmeyanov Institute of Organoelement Compounds of Russian Academy of Sciences (INEOS RAS),
ul. Vavilova 28, Moscow, 119334 Russia

****The Federal Research Center Institute of Cytology and Genetics SB RAS (ICG SB RAS),
prosp. Akad. Lavrentyeva 9, Novosibirsk, 630090 Russia

(E)-16-Aryl-substituted derivatives of tricyclic diterpenoids were synthesized by cross-coupling of isopimaric acid derivatives with substituted iodorenes catalyzed by palladium acetate in the presence of silver carbonate. Condensation of (E)-18-nor-4-(carboxyethyl)-16-(2-carboxyethyl)isopimar-7,15-diene dichloride with propargylamine hydrochloride leads to the corresponding dialkine, which readily reacts with diazide in the Cu(I) catalyzed cycloaddition (CuAAC) reaction, with the formation of macroheterocyclic compound containing a pimaran type tricyclic diterpenoid core and 1,2,3-triazole rings in the linker chain. Reaction of in situ prepared (E)-18-nor-16-azido-4-(carboxyethyl)isopimar-7,15-diene acid chloride with propargylamine hydrochloride or an alkynyl-substituted derivative of the protected Gly-Gly dipeptide leads to the corresponding azidoalkynes. The intramolecular CuAAC reaction of azidodipeptidylalkyne afforded a macroheterocyclic derivative containing a dipeptide and triazole moiety in the linker chain. The obtained compounds showed higher (compared with the isopimaric acid) cytotoxicity on tumor cells MCF-7 and were less toxic to non-cancer cells than the reference drug doxorubicin. The GI₅₀ value of the most active compound is 6.3 μM, selectivity index >15 (MTT test). The synthesized derivatives of the tricyclic diterpenoid isopimaric acid can be used to develop new antitumor agents.

Keywords: isopimaric acid, diterpenoids, dipeptide, CuAAC-reaction, macrocycles, cytotoxicity